

**TAFELN**  
**1 - 11**

Tafel 1

- Fig.1** Tertiärrippe, nach Osten einfallend, am Westufer des Chindwin bei Shwelinda. Kahler Uferstreifen = rainy season level Chindwin  
Tertiary rib, E-dipping, on the west bank of the Chindwin River near Shwelinda
- Fig.2** Profillinie AUK TAUNG II (Vermessungspunkt Nr.42), Eisenkonkretion (-20 cm Durchmesser) mit Hämatit  
Traverse line AUK TAUNG II (survey point No.42), iron concretion (-20 cm diameter) with hematite
- Fig.3** Goldfeld Nat Taung (AUK TAUNG III). Terrassenschotter und versteinertes Holz (Länge 120 cm, Ø 45 cm)  
Goldfield Nat Taung (AUK TAUNG III). Terrace gravel and silicified wood (length 120 cm, diameter 45 cm)

Fotos H.J.Unger



Tafel 1



Fig. 2



Fig. 3

Tafel 2

- Fig.1** Goldfeld Tikelan (MANAWTHA I). Gerölle im Terrassenschotter von T4 bis zu 40 cm Durchmesser  
Goldfield Tikelan (MANAWTHA I). Boulders in gravel bed of T4 (-40 cm diameter)
- Fig.2** Goldfeld Makauk Maung (MANAWTHA I). Stollenfirste im Terrassenschotter mit scharfer Grenze zum Overburden  
Goldfield Makauk Maung (MANAWTHA I). Roof of gallery in the gravel bed with sharp boundary to the overburden
- Fig.3** Geröllhalde mit Blöcken aus den Terrassen T4 und T3 am östlichen Chindwin Ufer gegenüber von Kyaunggon (MANAWTHA II)  
Boulder gravel with boulders from the terraces T4 and T3 on the east bank of the Chindwin River opposite Kyaunggon  
--  
(MANAWTHA II)

Fotos H.J.Unger



Tafel 2

Fig.1



Fig.2

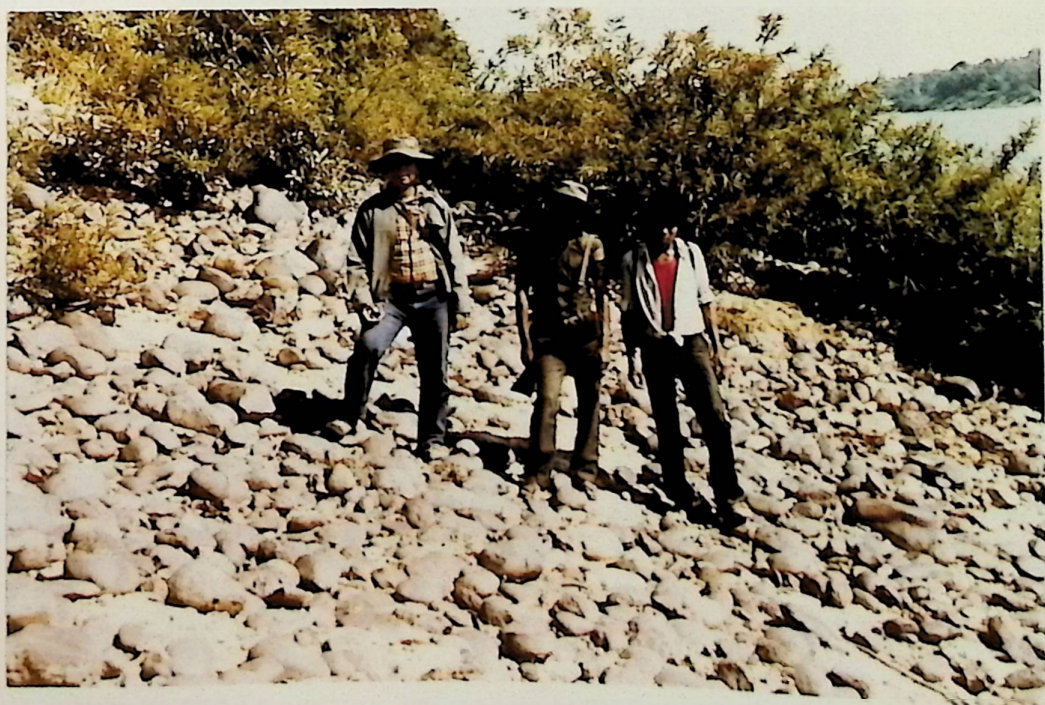


Fig.3

**Tafel 3**

- Fig.1** Karbonisiertes Holz in den Terrassenschottern von T4 lagernd.  
Ostufer des Chindwin gegenüber Kyaunggon (MANAWTHA II)  
Carbonified wood inside the terrace gravels of T4. East bank  
of the Chindwin River opposite Kyaunggon (MANAWTHA II)
- Fig.2** Profillinie THAUNGDT I, Punkt 40. Versteinerter Baumstamm am  
Fuß des Pagodenhügels (Höhe:mindestens 2 m; Durchmesser: 80 cm)  
Traverse line THAUNGDT I, point 40. Silicified wood at the base  
of Pagoda hill (height: 2 m; diameter: 80 cm)
- Fig.3** Versteinerte Baumstämme am Tempel von Thaungdut, in der Nähe des  
Klosters (Profillinie THAUNGDT I, Punkt Nr.10)  
Silcified wood near monastery of Thaungdut (very holy place)  
(traverse line THAUNGDT I, point No.10)

Fotos H.J.Unger  
Myat Htut

## Tafel 3



Fig.1



Fig.2



Fig.3

Tafel 4

**Fig.1** Diskordante Lagerung der T3-Terrasse auf dem nach Osten einfallenden sandigen Tertiär. Westufer des Chindwin, 3 Meilen stromauf Homalin

Unconformity between the E-dipping sandy Tertiary and the overlying T3-terrace. West bank of the Chindwin River 3 miles upstream Homalin

**Fig.2** Nach Südosten einfallende sandige Tertiär-Sedimente mit intensiver Weiß-und Rot-Färbung. Westufer des Chindwin, 500 m nördlich der Profillinie HOMALIN IV

Sandy tertiary sediments, SE-dipping, white-and red-coloured, on the west bank of the Chindwin River, 500 m north of the traverse line HOMALIN IV

Fotos H.J.Unger

## Tafel 4



Fig.1



Fig.2

## Tafel 5

**Fig.1** Terrassenkiese und Schotter, schlecht sortiert, über feinkörnigem Tertiär lagernd. Grobe Schotter im oberen Teil der Abfolge, sandige Kiese im unteren Teil. Terrasse T4 bei Tatkon.

Terrace gravels and cobbles, unsorted above fine grained Tertiary. Coarse cobbles in the higher part of the sequence, sandy-gravelly sequence in the lower part. Terrace T4 near Tatkon.

**Fig.2** Grobsandige Fein-bis Grobkiese lagern mit scharfer Grenze über dem feinkörnigen Tertiär. Am Top des Tertiärs sind keine Veränderungen am Sediment erkennbar, die auf eine Beeinflussung durch Atmosphärlien deuten. Terrasse T4 über Tertiär bei Tatkon.

Fine to coarse grained gravel in coarse grained sandy matrix with sharp boundary to underlying fine grained Tertiary. Top of Tertiary without indications of influence by weathering. Terrace T4 on top of Tertiary near Tatkon.

**Fig.3** Unsortierte Lagerung von Sanden, Kiesen, Schottern und Bouldern. Durch die Atmosphärlien braun verfärbt, lagig oder linsig durch Eisen und Mangan verfestigt. Terrasse T4 bei Tatkon.

Unsorted deposited sands, gravels, cobbles and boulders, brown stained by atmospheric influences, indurated in some parts by iron and manganese. Terrace T4 near Tatkon.

**Fig.4** Grobsandiger Fein-bis Mittelkies mit regellos eingelagerten Schottern. Linie SHWELINDA III, Terrasse T3

Fine to medium grained gravel in coarse grained sandy matrix with irregular embedded cobbles. Traverse line SHWELINDA III, terrace T3.

Fotos H.J.Unger

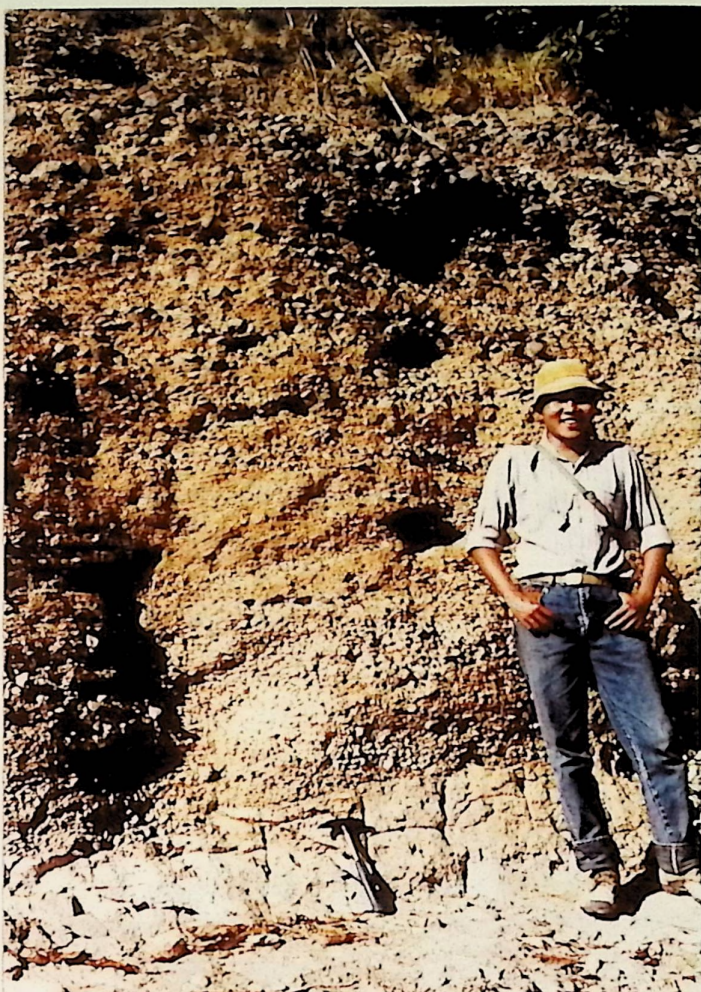


Fig.1



Fig.2



Tafel 5

Fig.3



Fig.4

Tafel 6

**Fig.1** Schotter und Boulder aus der Terrasse T3 der Meßlinie TA-NGA II.  
Punkt 19

Cobbles and boulders of traverse line TA-NGA II, point 19  
(terrace T3).

**Fig.2** Terrasse T3 über Tertiär. Nördlich Homalin am Westufer des Chindwin. Über 6 m grobsandigem Kies und Schotter 10 m feinsandig-schluffiger Overburden mit 1,5 m red soil am Top.

Terrace T3 lying above Tertiary. North of Homalin, west bank of the Chindwin River. On the base 6 m coarse sandy gravels and cobbles, followed by 10 m of fine sandy to silty overburden and 1,5 m red soil on the top.

**Fig.3** Goldfeld Tapa Kon, Profil HOMALIN IV. Erosive Eintiefung am Top der Schotter von T3 und Rotstreifung des sandigen Overburden.

Goldfield Tapa Kon, traverse line HOMALIN IV. Erosion on the top of the cobbles of T3 and red layers in the sandy overburden.

Fotos H.J.Unger



Fig.1



Fig.2



Fig.3

Tafel 7

- Fig.1** Goldfeld Myenga. Sluice. Grobsandige Kiese und Schotter mit Grobsandzwischenlagen. Nach Westen (im Bild rechts) geschüttet.  
Goldfield Myenga. Sluice. Coarse sandy gravels and cobbles with coarse sand layers.
- Fig.2** Goldfeld Shwe Kyin Taung (Profil MANAWTHA I). Schachtbau in der Terrasse T4 mit Stollen.  
Goldfield Shwe Kyin Taung (traverse line MANAWTHA I). Pit in the terrace T4 with a gallery.
- Fig.3** T4-Terrasse über nach Osten einfallendem Tertiär. Kettha gegenüber Homalin am Westufer des Chindwin.  
T4-terrace lying above E-dipping Tertiary. Kettha opposite Homalin, west bank of the Chindwin River.

Fotos H.J.Unger



Fig.1

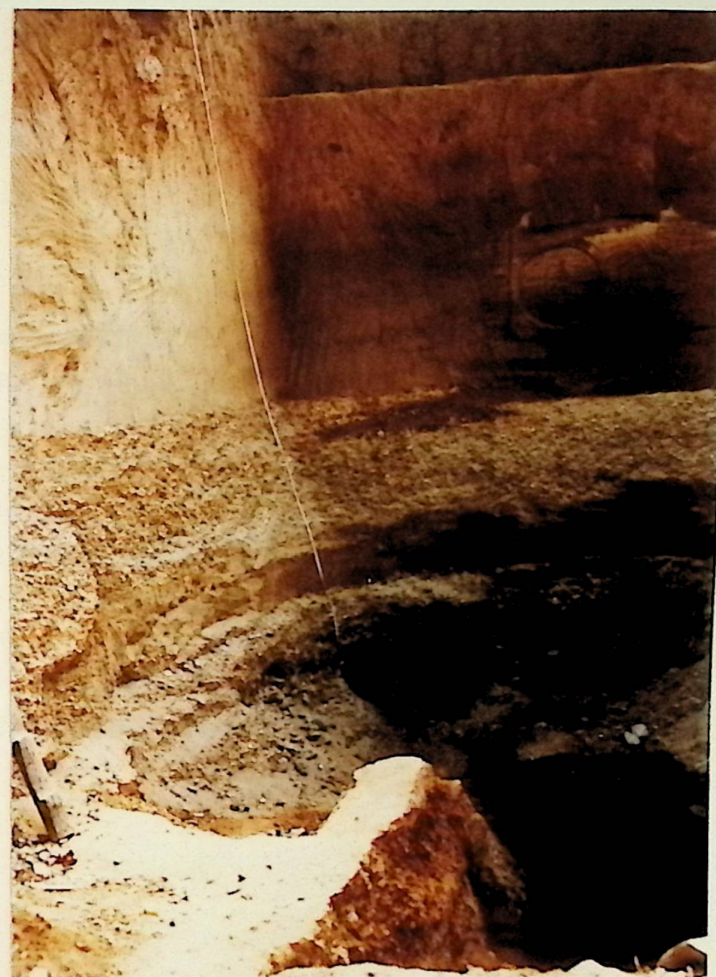


Fig.2

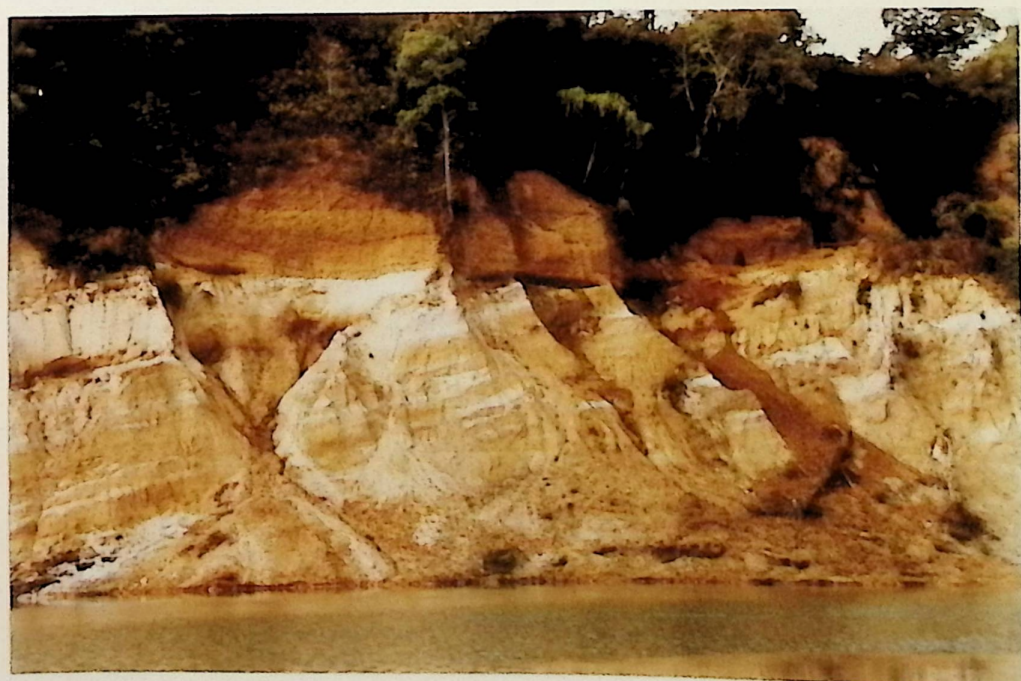


Fig.3

Tafel 8

**Fig.1** Steinzeit-Artefakt. Nucleus. AUK TAUNG III, Terrasse T3.  
Stone age implement. Nucleus. AUK TAUNG III, terrace T3.

**Fig.2** Steinzeit-Artefakt. Schaber aus versteinertem Holz.  
Profillinie TA-NGA II, Terrasse T3.  
Stone age implement. Side-and End Scraper of Fossil Wood.  
Traverse line TA-NGA II, terrace T3.

**Fig.3** Steinzeit-Artefakt. Faustkeil. Goldfeld Kyaikkalum (Profil-  
linie NANSIMA II, Terrasse T4) bei Nansima.  
Stone age implement. Hand-Adze Made on Pebble. Goldfield  
Kyaikkalum (traverse line NANSIMA II, terrace T4) near Nansima.

Fotos H.J.Unger

## Tafel 8



Fig.1



Fig.2



Fig.3

Tafel 9

- Fig.1** Steinzeit-Artefakt. Gewürzmühle aus glaukonitischem Sandstein.  
Goldfeld Shwe Kyin Taung (MANAWTHA I, Terrasse T4)  
Stone age tool. Spice-Mill (glauconitic sandstone).  
Goldfield Shwe Kyin Taung (MANAWTHA I, terrace T4).
- Fig.2** Steinzeit-Artefakt. Gewürzmühle aus glaukonitischem Sandstein.  
Goldfeld Shwe Kyin Taung (MANAWTHA I, Terrasse T4).  
Stone age tool. Spice-Mill (glauconitic sandstone).  
Goldfield Shwe Kyin Taung (MANAWTHA I, terrace T4).
- Fig.3** Holozäne Terrasse. Westufer des Chindwin, südlich von Mawlaik.  
Höhe der Terrasse: 10 m. Am Top humose Verfärbung.  
Holocene terrace. west bank of the Chindwin River, south  
of Mawlaik. Hight of the terrace: 10 m. On the top iron-  
coloured layer.

Fotos H.J.Unger

Tafel 9



Fig.1



Fig.2



Fig.3

Tafel 10

**Fig.1** Top der auf 3 m reduzierten T4-Terrassenschotter. Stark verbacken und verwittert. Von der qh-Auflage entblößt.  
Thaungdut, Ortsbereich.

Top of the eroded T4-terrace gravels (thickness: 3 m), strongly indurated and weathered, qh-sediments eroded.  
Thaungdut village.

**Fig.2** Goldwaschen in den "Jüngsten Alluvionen" zwischen Tatkon und Shabin.

Gold washing in the "Youngest Alluvium" in the Chindwin River bed between Tatkon and Shabin.

Fotos H.J.Unger

## Tafel 10



Fig.1



Fig.2

Tafel 11

- Fig.1** Goldfeld Shwe-Oe-Gyi (TATKON VII; Terrasse T3). Kammerbau.  
Goldfield Shwe-Oe-Gyi (TATKON VII; terrace T3).  
Room-an Pillar mining.
- Fig.2** Goldfeld Shwe-Oe-Gyi (TATKON VII; Terrasse T3).  
Ausbau am Stollenmundloch.  
Goldfield Shwe-Oe-Gyi (TATKON VII; terrace T3).  
Timbering of adit portal.
- Fig.3** Goldführende, sandige Kies-Schotter-Abfolge  
im Goldfeld Tapa Kon (HOMALIN IV, Terrasse T3).  
Gold-bearing, sandy gravel-cobble-sequence.  
Goldfield Tapa Kon (HOMALIN IV, terrace T3).

Fotos H.J.Unger



Fig.1



Fig.2

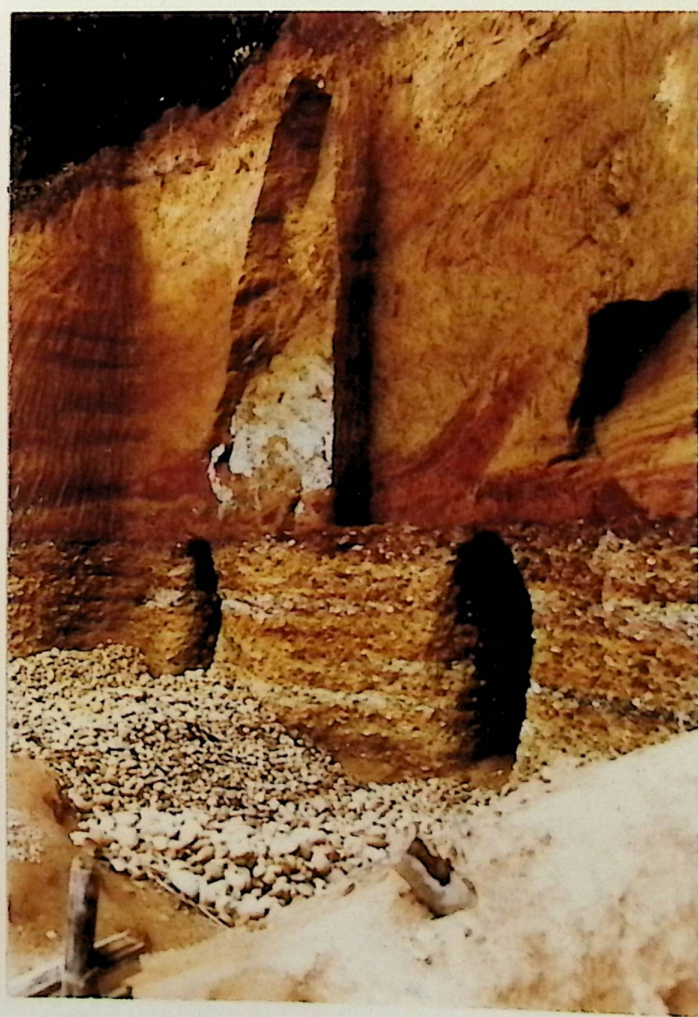


Fig.3



**Anhang - Appendix**

## A-1 Geographische Lage der Goldfelder und ihre Terrassenzuordnung

Tab.19 Geographische Lage der Goldfelder und ihre Terrassenzuordnung  
 Table 19 Geographic position of the goldfields and their terrace level

Goldfeld: Goldfield:	Lage: geographic position:		Linie: traverse line:	Terrasse: terrace:
<u>Tatkon - Area</u>				
Wetsalaw	24°48'24''N	94°30'16''E	TATKON I	T1
Thayet Kon	24°48'40''N	94°30'28''E	TATKON I	T1
Nga Aye	23°46'20''N	94°27'50''E	TATKON VII	T4
Shwe-Oe-Gyi	23°46'21''N	94°27'41''E	TATKON VII	T3
Thamogon	23°48'27''N	94°29' E	TATKON IV	T3
Nachangon	23°48'43''N	94°29' 6''E	TATKON IV	T3
Shwe-Gwin-Gon	23°48'48''N	94°29' E	TATKON IV	T4
Ye Sat Sat	23°47'13''N	94°29'36''E	TATKON III	T4
Nauk Auk Taung	23°47'30''N	94°29'41''E	TATKON III	T4
Concicon	23°48'12''N	94°28'56''E	TATKON III	T3, T4
<u>Shwelinda - Area</u>				
Nyaung Bin Taung	24°52' N	94°31' 7''E	SHWELINDA III	T3
Nat Taung	24°51'56''N	94°31'13''E	SHWELINDA III	T3
Shwe Taung	24°52'10''N	94°31'13''E	SHWELINDA III	T1
<u>Ta-nга - Area</u>				
Phut Tu Taung	23°59' 7''N	94°35'26''E	TA-NGA II	T3, T4
Yet Tet Sa Oo	23°59' 4''N	94°35'17''E	TA-NGA II	T3, T4
<u>Auk Taung - Area</u>				
Kyun Taung	24° 4'57''N	94°35'40''E	AUK TAUNG III	T2
Nat Taung	24° 4'54''N	94°35' 5''E	AUK TAUNG III	T2, T3
<u>Nansima - Area</u>				
Nansima	24°11'43''N	94°40' 9''E	NANSIMA I	T2
Thayet Kon	24°12'54''N	94°39'15''E	NANSIMA I	T3
Mawha	24°11'26''N	94°38'45''E	NANSIMA II	T2
Kyaikkalum	24°10'46''N	94°39' E	NANSIMA II	T4
<u>Paungbyin - Area</u>				
Shwe Gyn Gyi	24°16'30''N	94°51' 4''E	PAUNGBYIN II	T1
Man Sein	24°19' N	94°46' 3''E	PAUNGBYIN III	T3, T4
<u>Manawtha - Area</u>				
Tikelan	24°24'30''N	94°44'12''E	MANAWTHA I	T4
Makauk Maung	24°24' 6''N	94°44'36''E	MANAWTHA I	T4
Shwe Kyin Taung	24°24'21''N	94°44'30''E	MANAWTHA I	T4
<u>Thaungdut - Area</u>				
Wun Phu Kon	24°25'54''N	94°42' 7''E	THAUNGDUT III	T4
<u>Myenga - Area</u>				
Myenga	24°38'16''N	94°43'00''E	MYENGA I	T3, T4
<u>Homalin - Area</u>				
Tapa Kon	24°52'24''N	94°52' 7''E	HOMALIN IV	T3

## A - 2 Eine frühneuzeitliche Eisenverhüttung zwischen Ta-nga und Thaungdut

Während der Aufnahmearbeiten zwischen Ta-nga im Süden und Thaungdut im Norden fanden sich immer wieder, vereinzelt oder in Halden auftretend, Eisenschlacken. Zusammen mit diesen Schlacken fanden sich, vor allem um Auk Taung, sehr viele Keramikbruchstücke. Die Entstehung dieser Schlacken konnte erst durch Nachforschungen MYAT HTUT's zur Geschichte Thaungduts (siehe Kap.A-2.1.) geklärt werden.

Die Fundpunkte der Eisenschlacken und der Keramik wurden von uns registriert.

Tab.20 Schlacken- und Keramik Fundpunkte

Table 20 Places of discovery of slags and ceramics

Profillinie/Punkt Nr.: Traverse line/point No.	Fund: *+**	Probe Nr.: sample No.:
TA-NGA II/17	*	3/22/88
AUK TAUNG I/26	**	3/24/88
AUK TAUNG II/41	**	
AUK TAUNG III/13	*	
AUK TAUNG III/20	**	
AUK TAUNG III/22	**	
AUK TAUNG III/25	**	3/28/88
AUK TAUNG III/27	*	
AUK TAUNG III/43	**	3/29/88
AUK TAUNG III/62	**	3/32/88
AUK TAUNG III/99	**	
THAUNGDTU I/5,6	*	
THAUNGDTU II/5	*	

\* Einzelfund - single finding

\*\* Hülde - dump

++ Keramik - ceramic

Sehr bald schon zeigten sich Zusammenhänge zwischen den gehäuft auftretenden Eisenkrusten und Eisenkonkretionen und dem Auftreten der Schlacken. Daher wurden Proben von Eisenkrusten und Eisenkonkretionen entnommen (Proben Nr.3/26/88; 3/27/88; 3/36/88), die am 16.5.88 von U TIN LIN (ECAMS-Labor Rangoon) auf ihren Fe<sub>2</sub>O<sub>3</sub>- und MnO-Gehalt hin analysiert wurden. (Tab.21). Zur Lage der Probeentnahmepunkte siehe Tabelle 23 und die Grundrisse und Profile der einzelnen Linien.

Die Proben Nr.26 und Nr.27 waren 2 cm dicke Eisenkrusten, die Proben Nr.36 A-C mit Hämatit gefüllte Konkretionen. Offensichtlich wurden hauptsächlich die hämatitischen Konkretionen zum Einschmelzen verwendet, wie ein Vergleich der Analysenwerte der

Tab.21 Analysen von Eisenkrusten und Eisenkonkretionen (Analysen: U TIN LIN, Rangoon, 16.5.88)

Table 21 Analyses of iron-crusts and iron-concretions (Analyses: U TIN LIN, Rangoon, 16.5.88)

Probe Nr.: sample No.:	Fe <sub>2</sub> O <sub>3</sub> (%)	MnO (%)	Ausbildung: development:
3/26/88	32,18	2,0	Eisenkruste
3/27/88	24,31	0,3	Eisenkruste
3/36A/88	64,35	1,92	Eisenkonkretion
3/36B/88	67,21	4,7	Eisenkonkretion
3/36C/88	59,06	3,0	Eisenkonkretion

Konkretionen und der Schlacken zeigt (Tab.22). Die Eisenausbringung ist bei diesem Schmelzverfahren sehr schlecht gewesen, da in den Schlacken noch Fe<sub>2</sub>O<sub>3</sub>-Gehalte bis zu 49,6% nachzuweisen sind.

Tab.22 Analysenergebnisse der Schlacken von TA-NGA II und AUK TAUNG III (Analysen: Dr.W.-D.OTT, GLA, München; 29.6.88; 20.7.88)

Table 22 Analytical results of slags from TA-NGA II and AUK TAUNG III (Analyst: Dr.W.-D.OTT, GLA, Munich; 29.6.88; 20.7.88)

	Proben			
	3/22/88	3/24/88	3/29/88	3/32/88
SiO <sub>2</sub> %	25,0	28,0	20,0	11,0
TiO <sub>2</sub>	0,4	0,3	0,3	0,2
Al <sub>2</sub> O <sub>3</sub>	5,0	7,0	6,0	0,2
Fe <sub>2</sub> O <sub>3</sub>	49,6	41,3	48,9	48,8
MgO	1,1	0,9	0,8	0,6
CaO	0,5	3,9	0,5	0,2
Na <sub>2</sub> O	0,7	0,7	0,6	0,7
K <sub>2</sub> O	1,0	1,2	0,4	0,4
P <sub>2</sub> O <sub>5</sub>	0,2	0,2	0,1	0,2
LOI(+HnO)	16,3	15,8	21,9	33,8
Summe	99,8	99,3	99,5	97,9

RFA = Röntgen-Fluoreszenz-Analyse, Pulverproben von luftgetrocknetem Material.

Analysen: Dr.W.-D.OTT (Bayerisches Geologisches Landesamt, München)

\* Gesamteisen als Fe<sub>2</sub>O<sub>3</sub>      Total iron as Fe<sub>2</sub>O<sub>3</sub>

In der Umgebung von Auk Taung fanden sich vergesellschaftet mit den Schlacken Bruchstücke von alter Keramik. Charakteristische Stücke wurden aufgesammelt (Abb.56,57). Leider handelt es sich durchwegs, neben tönernen Blasebalg-Gebläsedüsens (Abb.57 unten) um Gebrauchsgeräte, die keine zeitliche Einstufung erlaubt. Rezent jedenfalls ist diese Keramik nicht einzustufen. Um der Frage nach der zeitlichen Einstufung der Schlacken und der Keramik nachzugehen, versuchte MYAT HTUT noch während der Feldarbeiten in Thaungdut, einer der alten Hauptstädte der "Dukes

Tab.23 Zusammenstellung der während der Kampagne 1988 aufgesammelten Proben am Oberen Chindwin River

Table 23 Samples from fieldtrip 1988. Description of samples

Probe Nr.: Sample No.:	Meßlinie: transverse line:	Datum: date:	Probe - Analyse: sample - analysis:
3/ 1/88	TATKON I/90	1.2.88	Sand, Schwermineralien
3/ 2/88	TATKON I/91	1.2.88	Sand, Schwermineralien
3/ 3/88	TATKON II/10	1.2.88	Sand, Schwermineralien
3/ 4/88	TATKON III/45	2.2.88	Sand, Schwermineralien
3/ 5/88	TATKON III/94	2.2.88	Versteinertes Holz
3/ 6/88	TATKON V/27	5.2.88	Sand, Schwermineralien
3/ 7/88	TATKON V/33	5.2.88	Mergel, Tertiär
3/ 8/88	TATKON VII/15	8.2.88	Sand, Schwermineralien
3/ 9/88	TATKON VII/47	8.2.88	Sand, Schwermineralien
3/10/88	TATKON VII/60	8.2.88	Sand, Schwermineralien
3/11/88	TATKON VIII/12	9.2.88	Sand, Schwermineralien
3/12/88	SHWELINDA III/9	12.2.88	Sand, Schwermineralien
3/13/88	SHWELINDA III/15	12.2.88	Red soil, Boden
3/14/88	SHWELINDA III/40	12.2.88	Sand, Schwermineralien
3/15/88	SHWELINDA III/45	12.2.88	Sand, Schwermineralien
3/16/88	SHWELINDA III/2	12.2.88	Sand, Schwermineralien
3/17/88	SHWELINDA III/1	12.2.88	Sand, Schwermineralien
3/18/88	YUWA I/43	15.2.88	Fauna, Knochen
3/19/88	YUWA I/54	15.2.88	Versteinertes Holz(TO)
3/20/88	YUWA I/57	15.2.88	Holz aus dem Tertiär
3/21/88	TA-NGA II/14	20.2.88	Sand, Schwermineralien
3/22/88	TA-NGA II/17	20.2.88	Schlacke
3/23/88	TA-NGA II/46	20.2.88	Schwermineralien, Sand
3/24/88	AUK TAUNG I/26	22.2.88	Schlacke
3/25/88	AUK TAUNG I/36	22.2.88	Flora
3/26/88	AUK TAUNG I/36	22.2.88	Eisenkruste, Fe?
3/27/88	AUK TAUNG II/46	22.2.88	Eisenkonkretion, Fe?
3/28/88	AUK TAUNG III/25	23.2.88	Keramik, Schlacke
3/29/88	AUK TAUNG III/43	23.2.88	Keramik, Schlacke
3/30/88	AUK TAUNG III/57	23.2.88	Kohle
3/31/88	AUK TAUNG III/59	23.2.88	Sand, Schwermineralien
3/32/88	AUK TAUNG III/62	23.2.88	Keramik, Schlacke
3/33/88	AUK TAUNG III/109	23.2.88	Sand, Schwermineralien
3/34/88	AUK TAUNG III/118	23.2.88	Sand, Schwermineralien
3/35/88	AUK TAUNG III/109	23.2.88	Glaukonit-Sdst., Holz
3/36/88	AUK TAUNG III/109-3Pr.	23.2.88	Eisenkonkretionen, Fe?
3/37/88	AUK TAUNG III/114	23.2.88	Hornstein, Silex
3/38/88	NANSIMA I/89	26.2.88	Sand, Schwermineralien
3/39/88	NANSIMA I/26	26.2.88	Sand, Schwermineralien
3/40/88	NANSIMA II/32	27.2.88	Sand, Schwermineralien
3/41/88	NANSIMA II/69	27.2.88	Sand, Schwermineralien
3/42/88	PAUNGBYIN II/61	2.3.88	Sand, Schwermineralien
3/43/88	PAUNGBYIN II/63	2.3.88	Holz
3/44/88	PAUNGBYIN III/21	3.3.88	Sand, Schwermineralien
3/45/88	PAUNGBYIN III/25	3.3.88	Keramik
3/46/88	Ingyintha Chaung	4.3.88	Sand, Schwermineralien
3/47/88	Wayontha(old village)	4.3.88	Sand, Schwermineralien
3/48/88	MANAWTHA I/18	7.3.88	Sand, Schwermineralien
3/49/88	MANAWTHA I/74	7.3.88	Sand, Schwermineralien
3/50/88	MANAWTHA I/89	7.3.88	Sand, Schwermineralien
3/51/88	MANAWTHA II	7.3.88	Sand, Schwermineralien
3/52/88	MANAWTHA II	7.3.88	Holz am Top Tertiär
3/53/88	MANAWTHA II	7.3.88	Holz aus dem Tertiär
3/54/88	THAUNGDTU III	11.3.88	Holz aus dem Tertiär
3/55/88	HOMALIN III	19.3.88	Sand, Schwermineralien
3/56/88	vor HOMALIN IV	19.3.88	Sandstein, Tertiär
3/57/88	vor HOMALIN IV	19.3.88	Sandstein, Tertiär
3/58/88	HOMALIN IV	19.3.88	Sand, Schwermineralien

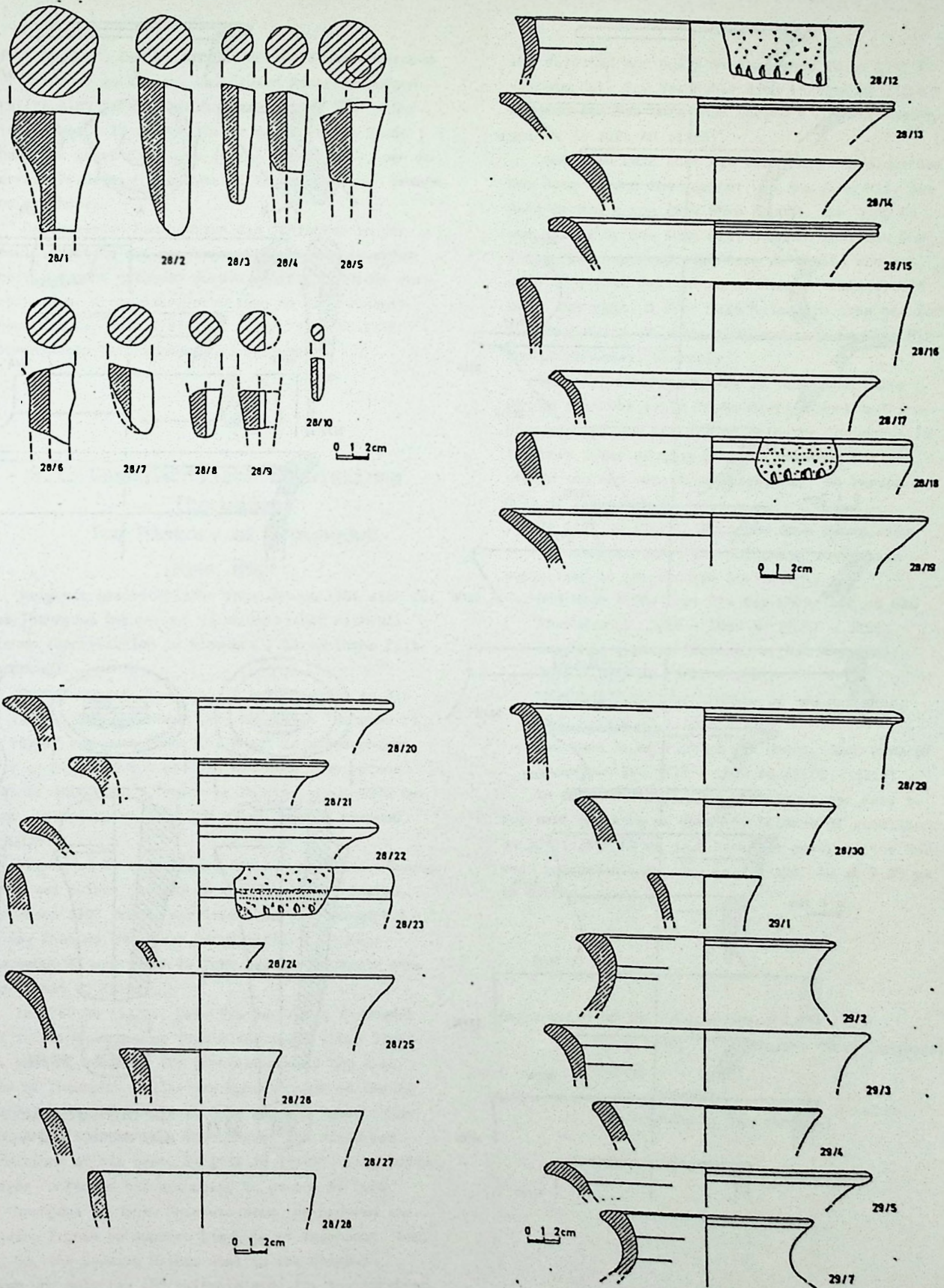


Abb. 56 Eisenverhüttung bei Auk Taung. Keramik  
Tonfüße, Randstücke von Schalen, Töpfe und Krüge aus Ton

Fig. 56 Iron smelting area at Auk Taung village. Ceramic sherds  
Fragments of bowls, pots and jars

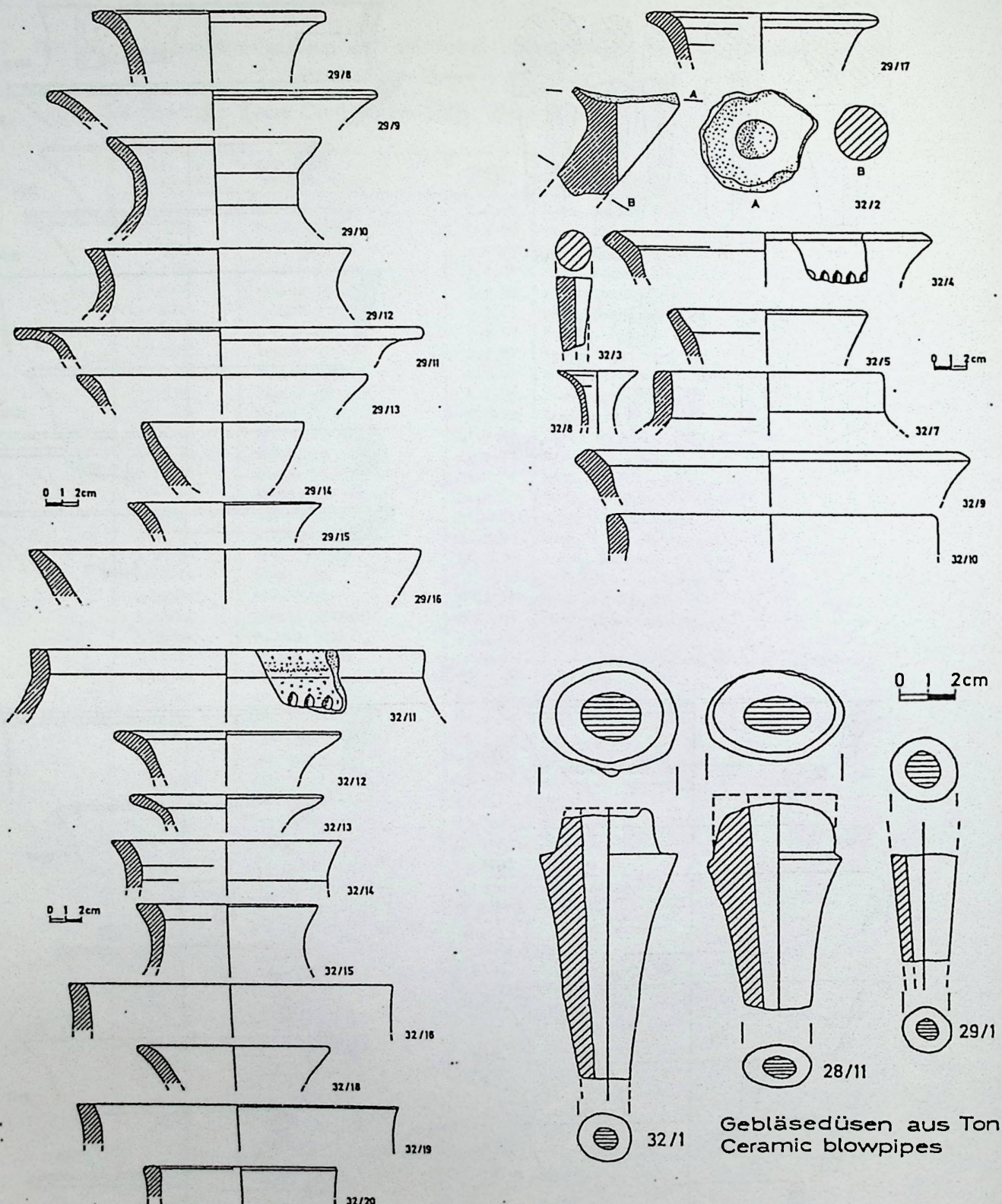


Abb. 57 Eisenverhüttung bei Auk Taung. Keramik  
Tonfüße, Gebläsedüsen aus Ton, Randstücke von  
Schalen; Töpfe und Krüge aus Ton

Fig. 57 Iron smelting area at Auk Taung village. Ceramic sherds  
Fragments of bowls, pots and jars; Ceramic blow pipes

of Thaungdut", der Geschichte dieser Eisenverhüttung auf die Spur zu kommen. Bei diesen Nachforschungen stellte sich heraus, daß in der Zeit ab 1797 n.Chr., als Thaungdut IV an der Stelle der heutigen Stadt Thaungdut gegründet wurde (siehe Kap.A-2.1.), man im Herrschaftsbereich des Duke of Thaungdut Eisen gewann und erschmolz.

Da an vielen Fundplätzen die Schlacken in Vergesellschaftung mit der Keramik unter bis zu einem Meter Sediment gefunden wurden, dürfte es nicht verfehlt sein, diese Eisenverhüttung in die Frühzeit Thaungdut IV, etwa 1797-1824 n.Chr. (= 1158-1185 birmanischer Zeitrechnung) zu datieren.

### A - 2.1. Geschichtliche Entwicklung Thaungduts

#### The history of Thaungdut

Myat Htut

Folgende geschichtliche Entwicklung läßt sich für das Thaungdut Gebiet und seine Herrscher nachvollziehen (Jahreszahlen in Klammern = birmanische Zeitrechnung):

Descendant of "Tan Net", King of Pagan, in 818 AD (179), King Anawratha gave the title "Mahamawriya razar" and name "Thoe Chi Pwar" to a descendant of a great grand son of "Tan Net-king". He became Duke of Thaungdut I, which is located about 1500 tar east of Gaurmonna town (20 miles west of present Thaungdut).

Thaungdut I, also called "Inner" or "Early Thaungdut", was ruined in 1739 AD (1120). It had lasted for about 1300 years. The last duke of Thaungdut I is Saw Khan Ho. One year later (1740 AD, 1121), Thaungdut II was built by Duke Saw Sar in Mawlu area (northwest of Katha).

In 1765 AD (1126), Duke Saw Sar built Thaungdut III in Maingkaing area (Uyu River area) about 32 miles east of Homalin. The youngest son of the last duke of Thaungdut I (Saw Haw Ngar) governed Thaungdut III in 1783 AD (1144). Duke Saw Haw Ngar reported to the Burmese King Bodawphayar the disturbed conditions of his area, in 1790 AD (1151). King Bodawphayar confirmed his authority to govern as Duke of Thaungdut in Upper Chindwin area. He ordered the Sagaing Prince to support the Duke of Thaungdut, too.

So, the Sagaing Prince went up the Chindwin River and selected the suitable area for the construction of Thaungdut town. The present Thaungdut area

was selected and built as Thaungdut IV in 1797 AD (1158). Duke Saw Haw Ngar died in 1814 AD (1175) and his son Saw Lake Khan became a duke of Thaungdut IV in 1824 AD (1185).

Duke Saw Lake Khan had two sons. The older was Saw Aung Ba and the younger was Saw Aung Hla. Saw Aung Ba had a son (Saw Shwe Maung). Saw Aung Ba was killed by Saw Aung Hla, and his son, Saw Shwe Maung, was captured. Saw Aung Ba's wife ran out away to U Kyar Sein (head of Htawma village) and asked for help. U Kyar Sein helped to free her son Saw Shwe Maung (8 years old) and sent to King Mindon of Mandalay, secretly.

When Saw Shwe Maung was 18 years old, King Mindon gave the title "Maha-Mawriya-Wuntha-Thihadama-Yazar" and let him to rule the Thaungdut IV (by this order of King Mindon, Saw Aung Hla was afraid and ran away from Thaungdut). He became a Duke of Thaungdut IV.

In 1886 AD (1247), Duke Saw Shwe Maung died.

In colonial time, the following dukes were authorized by the British Government:

- Min Htin Thiha (or) Saw Nay Khan (son of Saw Shwe Maung), 1886 - 1894 AD (1247 - 1255)
- Saw Khin (younger brother of Saw Nay Khan) 1894 - 1900 AD (1255 - 1261)
- Saw Jhun (youngesr brother of Saw Nay Khan) 1900 - 1928 AD ( 1261 - 1289)
- Saw Khun Saung (son of Saw Jhun), last Duke of Thaungdut IV. 1928 - 1950 AD (1289 - 1311)

In 1950 AD (1311), Saw Khun Saung ran away to Kettha ( opposite of Homalin) because of rebellions. On 30-11-1952 AD he gave back his power to the Burmese government. He died on 2-3-1967 AD at 7.30 pm in Kettha.

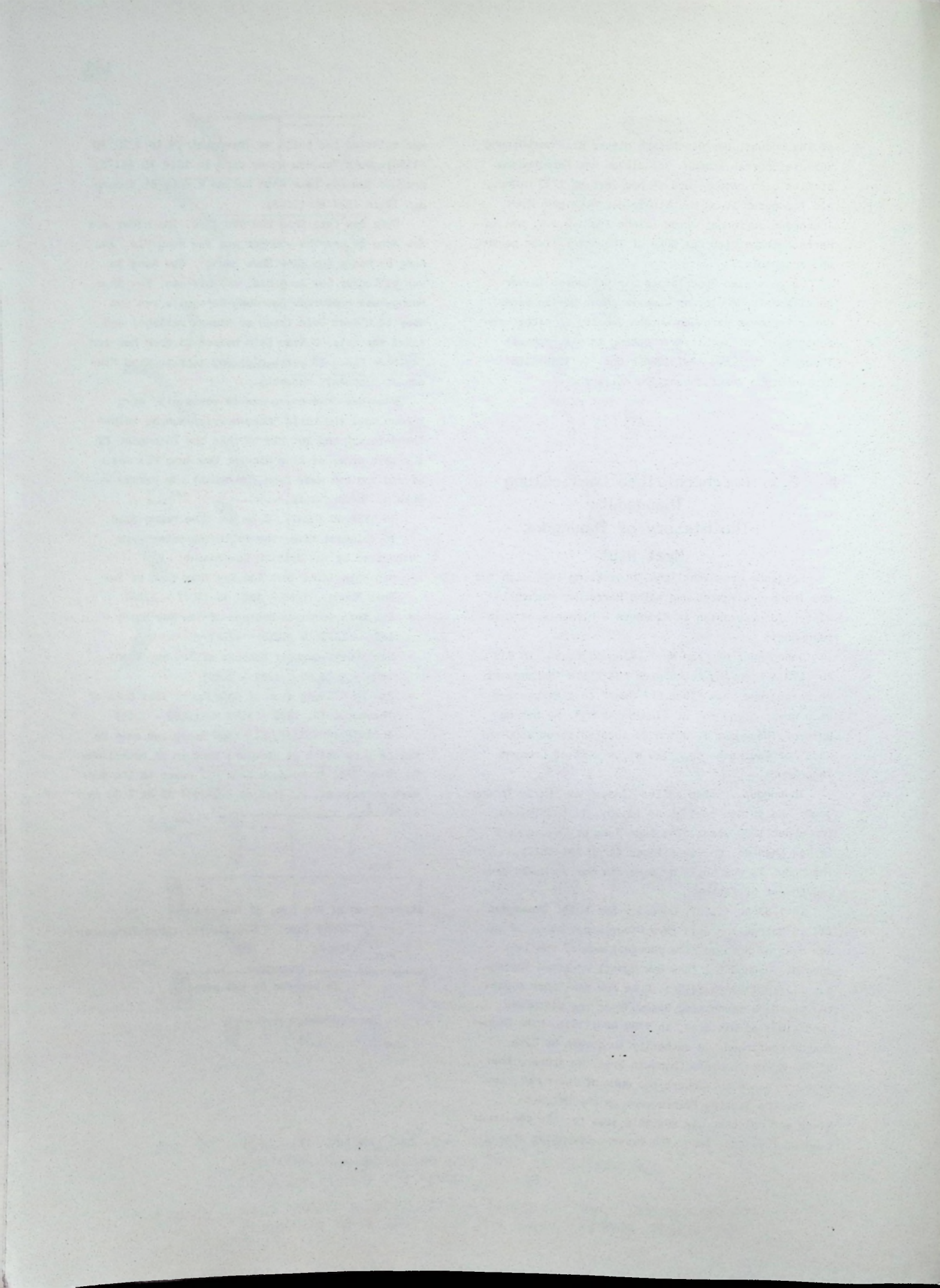
#### Explanation of the name of Thaungdut:

Saung (two) - Sut (mouth) (Shan language)

Thaung - Thut

Thaungdut

(= bounded by two streams)





**Das quartäre Chindwin - Tal  
zwischen Tatkon und Homalin**

